

# پروژه دوم علوم اعصاب محاسباتی

- صورت پروژه در این آدرس قابل مشاهده است.
- با توجه به دشواری حفظ ساختار صورت پروژه در گزارش، آن ساختار نادیده گرفته شده و مطالب با ساختاری مناسب برای دنبال کردن نمودارها و مطالب منظم شده‌اند؛ با اینحال تمام مطالب خواسته شده در صورت پروژه، در این گزارش پوشانده شده‌اند.
- در فاز قبلی این پروژه، رفتار نرونی مدل LIF به تفصیل مورد بررسی قرار گرفت. گزارش مذکور در این آدرس قابل مشاهده است.

## 0. فهرست مطالب

### 1. مدل ELIF

#### A. جریان ورودی ثابت

- a. بررسی رفتار مدل با دامنه‌های متفاوت جریان ورودی
- b. بررسی رفتار مدل با مقادیر متفاوت
- c. بررسی رفتار مدل با ثابت زمانی ( $\tau$ ) های متفاوت
- d. بررسی رفتار مدل با  $\Delta_T$  های متفاوت
- i. با جریان ورودی
- ii. بدون جریان ورودی

#### B. جریان ورودی تصادفی

- a. بررسی رفتار مدل با دامنه‌های متفاوت جریان ورودی
- b. بررسی رفتار مدل با مقادیر متفاوت
- c. بررسی رفتار مدل با ثابت زمانی ( $\tau$ ) های متفاوت
- d. بررسی رفتار مدل با  $\Delta_T$  های متفاوت

### 2. مدل AELIF

#### A. جریان ورودی ثابت

- a. بررسی رفتار مدل با دامنه‌های متفاوت جریان ورودی
- b. بررسی رفتار مدل با مقادیر متفاوت
- c. بررسی رفتار مدل با ثابت زمانی ( $\tau$ ) های متفاوت
- d. بررسی رفتار مدل با  $\Delta_T$  های متفاوت
- e. بررسی رفتار مدل با مقادیر متفاوت پارامتر a
- f. بررسی رفتار مدل با مقادیر متفاوت پارامتر b
- g. بررسی رفتار مدل با  $\tau_w$  های متفاوت

#### B. جریان ورودی تصادفی

- a. بررسی رفتار مدل با دامنه‌های متفاوت جریان ورودی
- b. بررسی رفتار مدل با مقادیر متفاوت
- c. بررسی رفتار مدل با ثابت زمانی ( $\tau$ ) های متفاوت
- d. بررسی رفتار مدل با  $\Delta_T$  های متفاوت
- e. بررسی رفتار مدل با مقادیر متفاوت پارامتر a
- f. بررسی رفتار مدل با مقادیر متفاوت پارامتر b
- g. بررسی رفتار مدل با  $\tau_w$  های متفاوت

#### C. ورودی جریان پالس مربعی متوازن

- a. بررسی رفتار مدل با PRI-های متفاوت جریان ورودی
- b. بررسی رفتار مدل با  $\tau_w$  های متفاوت

### 3. مقایسه مدل‌ها در کنار یکدیگر

A. رفتار نوروئی

B. نمودارهای I-F

```
In [1]: from cnsproject.network.neural_populations import LIFPopulation, ELIFPopulation
from cnsproject.network.monitors import Monitor
from cnsproject.plotting.plotting import Plotter
from cnsproject.utils import *
import matplotlib.pyplot as plt
import torch
```

بجز ابزار شبیه‌سازی (که import شده‌اند)، تابع پایین در این تمرین خاص، برای شبیه‌سازی و مقایسه نوروها در کنار هم به ما کمک خواهد کرد. همچنین در این تمرین، هر شبیه‌سازی را به مدت 200ms ادامه خواهیم داد.

```
In [64]: time=200 #ms
def neuron_behaviour(neuron_cls, I, p, time=time, postfix='', dt=1., name='',
                    threshold='firing_threshold', w=False, **args):
    neuron = neuron_cls((1,), dt=dt, **args)
    monitor = Monitor(neuron, state_variables=["s", "u"] if not w else ["s",
    neuron.refractory_and_reset()
    monitor.simulate(neuron.forward, {'I': I})
    p.monitor = monitor
    p.neuron_spike('s'+postfix, x_vis=False, y_label='spikes', title=name)
    p.neuron_voltage('u'+postfix, x_vis=False, y_label="u (mV)", x_label='',
    if w:
        p.adaptation_current_dynamic('w'+postfix, y_label="w (mV)", x_vis=False,
    p.current_dynamic('i'+postfix, I=I, y_label="I (mA)", repeat_till=time)
```

## 1. مدل ELIF

برای پیاده‌سازی این مدل نوروئی، کافی است اختلاف پتانسیل نورو را در هر گام طبق رابطه زیر به روزرسانی کنیم:

$$U(t + \Delta) = U(t) - \frac{\Delta}{\tau} [(U(t) - U_{rest}) - \Delta_T e^{\frac{U(t) - U_{firing-threshold}}{\Delta_T}} - R \cdot I(t)]$$

$$if \ U(t) > U_{spike-threshold} : U(t) = 0 \ \text{and} \ spike - on!$$

از آنجایی که این مدل توسعه‌ای بر مدل LIF است، پس انتظاراتی که از مدل LIF داشتیم، اینجا نیز مورد انتظار هستند:

- 1- با افزایش میزان جریان ورودی، اختلاف پتانسیل مثبت‌تر و در نتیجه فرکانس spike خروجی بیشتری شاهد هستیم.
- 2- با افزایش میزان مقاومت (R)، میزان تأثیرپذیری اختلاف پتانسیل نورو از جریان ورودی بیشتر می‌شود. به زبان ساده‌تر، با دریافت جریان ورودی، اختلاف پتانسیل با سرعت بیشتری افزایش پیدا می‌کند (مثبت می‌شود) و در نتیجه فرکانس spike خروجی افزایش پیدا می‌کند.
- 3- با افزایش  $\tau$ ، به صورت کلی سرعت تغییرات اختلاف پتانسیل کاهش پیدا می‌کند (لختی میزانی اختلاف پتانسیل بیشتر می‌شود).
- 4- با کاهش مقدار اختلاف  $U_{spike-threshold}$  و  $U_{rest}$ ، شاهد فرکانس بیشتری در spike‌ها خواهیم بود.

علاوه بر انتظارات فوق، انتظارات زیر نیز وجود دارند:

- 5- با افزایش  $\Delta_T$ ، سرعت افزایش پتانسیل زیاد شده و در نتیجه، فرکانس spike افزایش پیدا می‌کند.

6- با افزایش زیاد  $\Delta T$ ، نمودار رشد پتانسیل به صورت کلی بالای محور افق قرار می‌گیرد و در نتیجه، پتانسیل نوروں بدون نیاز به جریان ورودی افزایش پیدا می‌کند. با توجه به نشستی پتانسیل نوروںی، در نتیجه این افزایش و کاهش همزمان، نقطه همگرایی پتانسیلی بالا resting potential خواهیم داشت. اگر  $\Delta T$  به اندازه‌ای بزرگ باشد که این نقطه همگرایی بالای firing threshold قرار بگیرد، نوروں بدون جریان ورودی spike خواهد زد.

7- نوروں در زمان firing باید رفتار انفجاری (افزایش ناگهانی) داشته باشد.

با توجه به بدیهی بودن نتیجه ۴، آن را بررسی نخواهیم کرد.

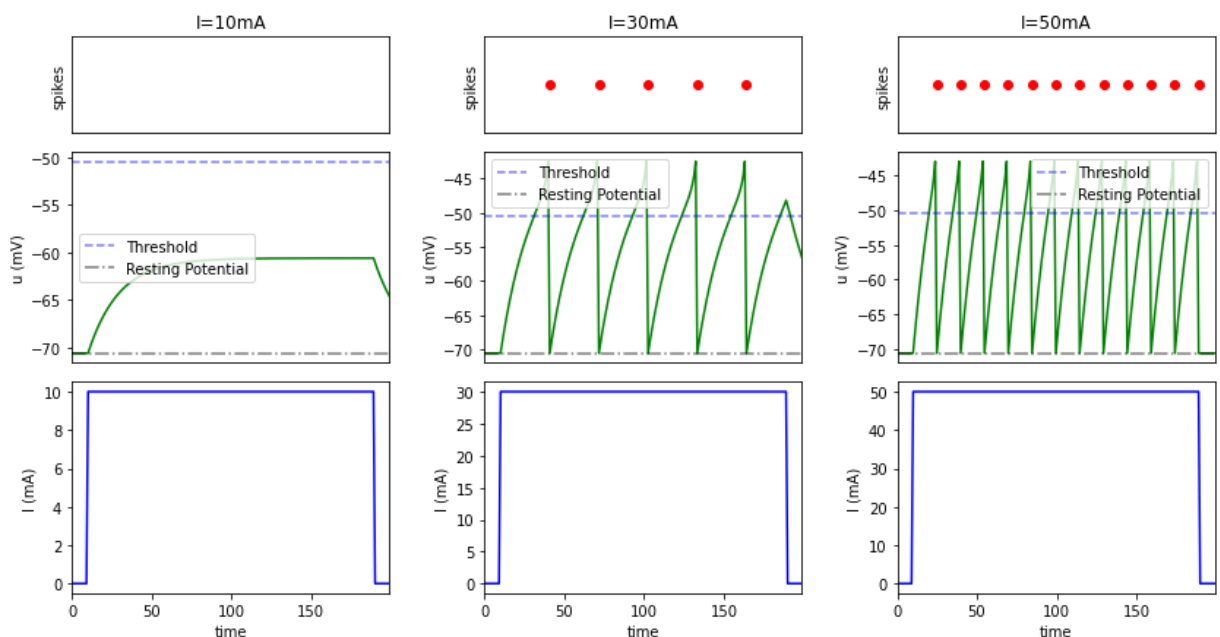
## A.1. جریان ورودی ثابت

### a.A.1. بررسی رفتار مدل با دامنه‌های متفاوت جریان ورودی

```
In [65]: plt.figure(figsize=(14,7))
p = Plotter([
    ['s1','s2','s3'],
    ['u1','u2','u3'],
    ['u1','u2','u3'],
    ['i1','i2','i3'],
    ['i1','i2','i3'],
], wspace=0.3)

Ion = 10
I = step_function(time, 10, vall=Ion) - step_function(time, time-10, vall=Ion)
neuron_behaviour(ELIFPopulation, I, p, postfix='1', name="I=10mA")
Ion = 30
I = step_function(time, 10, vall=Ion) - step_function(time, time-10, vall=Ion)
neuron_behaviour(ELIFPopulation, I, p, postfix='2', name="I=30mA")
Ion = 50
I = step_function(time, 10, vall=Ion) - step_function(time, time-10, vall=Ion)
neuron_behaviour(ELIFPopulation, I, p, postfix='3', name="I=50mA")

p.show()
```



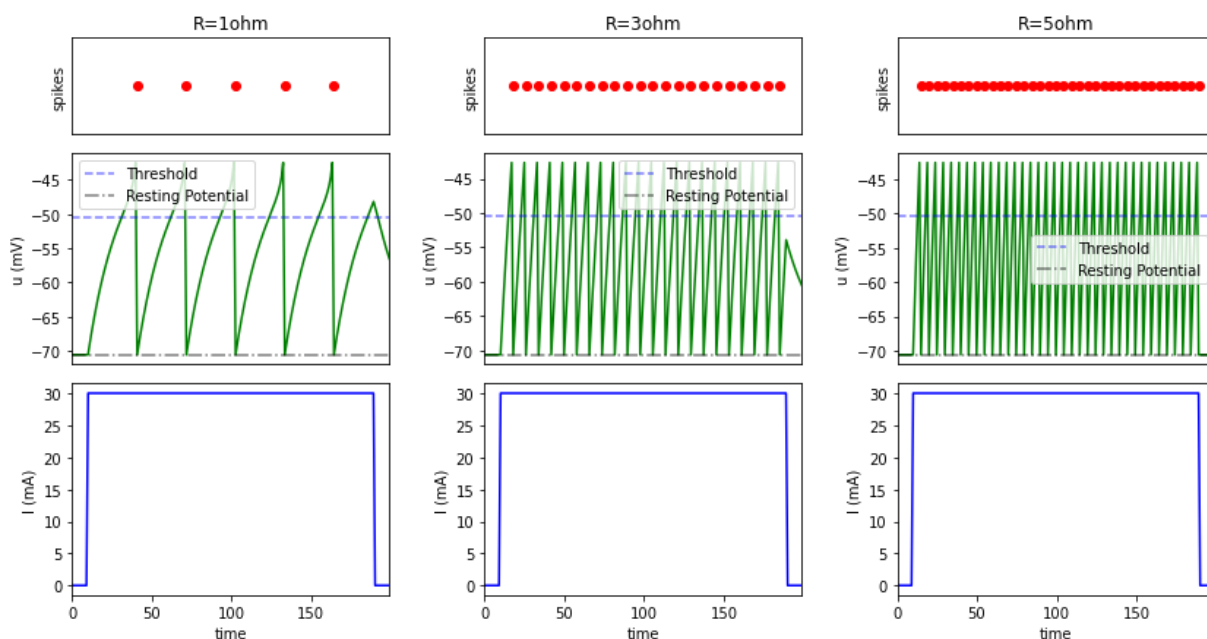
نتیجه مطابق انتظار اول ما از مدل است. همچنین رفتار انفجاری را مطابق بند ۷ از انتظارات خود از مدل، مشاهده می‌کنیم.

## b.A.1. بررسی رفتار مدل با مقادیرهای متفاوت

```
In [28]: plt.figure(figsize=(14,7))
p = Plotter([
    ['s1','s2','s3'],
    ['u1','u2','u3'],
    ['u1','u2','u3'],
    ['i1','i2','i3'],
    ['i1','i2','i3'],
], wspace=0.3)
Ion = 30
I = step_function(time, 10, val1=Ion) - step_function(time, time-10, val1=Ion)

neuron_behaviour(ELIFPopulation, I, p, R=1, postfix='1', name="R=1ohm")
neuron_behaviour(ELIFPopulation, I, p, R=3, postfix='2', name="R=3ohm")
neuron_behaviour(ELIFPopulation, I, p, R=5, postfix='3', name="R=5ohm")

p.show()
```



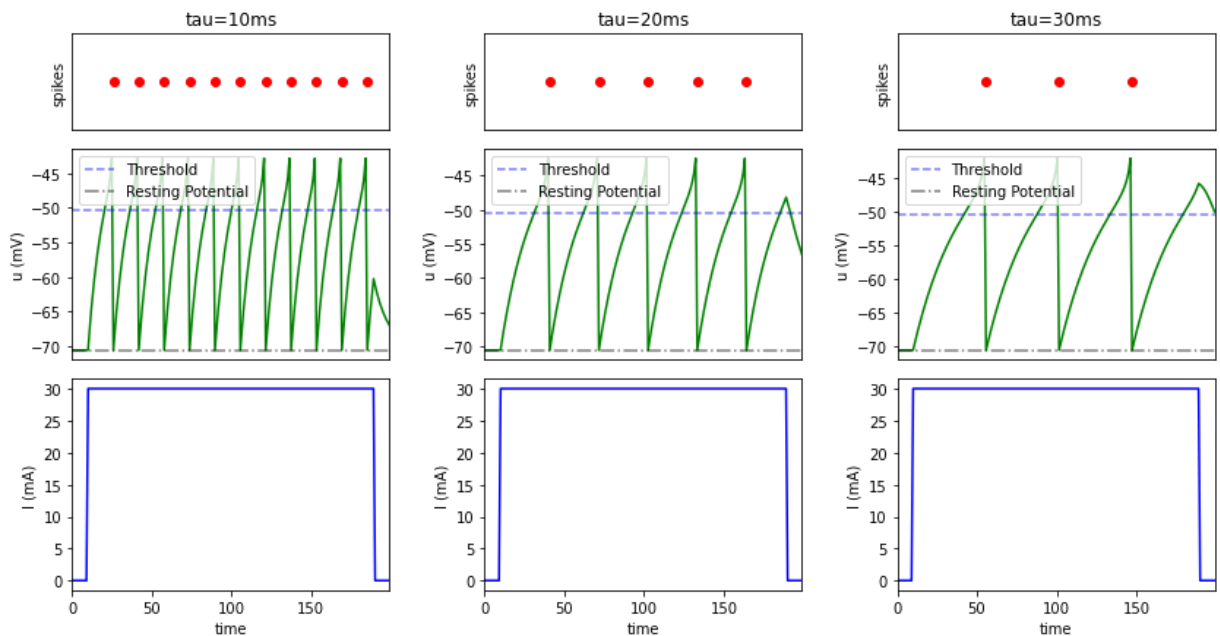
نتیجه مطابق انتظار دوم ما از مدل است.

## c.A.1. بررسی رفتار مدل با ثابت زمانی( $\tau$ )های متفاوت

```
In [42]: plt.figure(figsize=(14,7))
p = Plotter([
    ['s1','s2','s3'],
    ['u1','u2','u3'],
    ['u1','u2','u3'],
    ['i1','i2','i3'],
    ['i1','i2','i3'],
], wspace=0.3)
Ion = 30
I = step_function(time, 10, val1=Ion) - step_function(time, time-10, val1=Ion)

neuron_behaviour(ELIFPopulation, I, p, tau=10, postfix='1', name="tau=10ms")
neuron_behaviour(ELIFPopulation, I, p, tau=20, postfix='2', name="tau=20ms")
neuron_behaviour(ELIFPopulation, I, p, tau=30, postfix='3', name="tau=30ms")

p.show()
```



نتیجه مطابق انتظار سوم ما از مدل است.

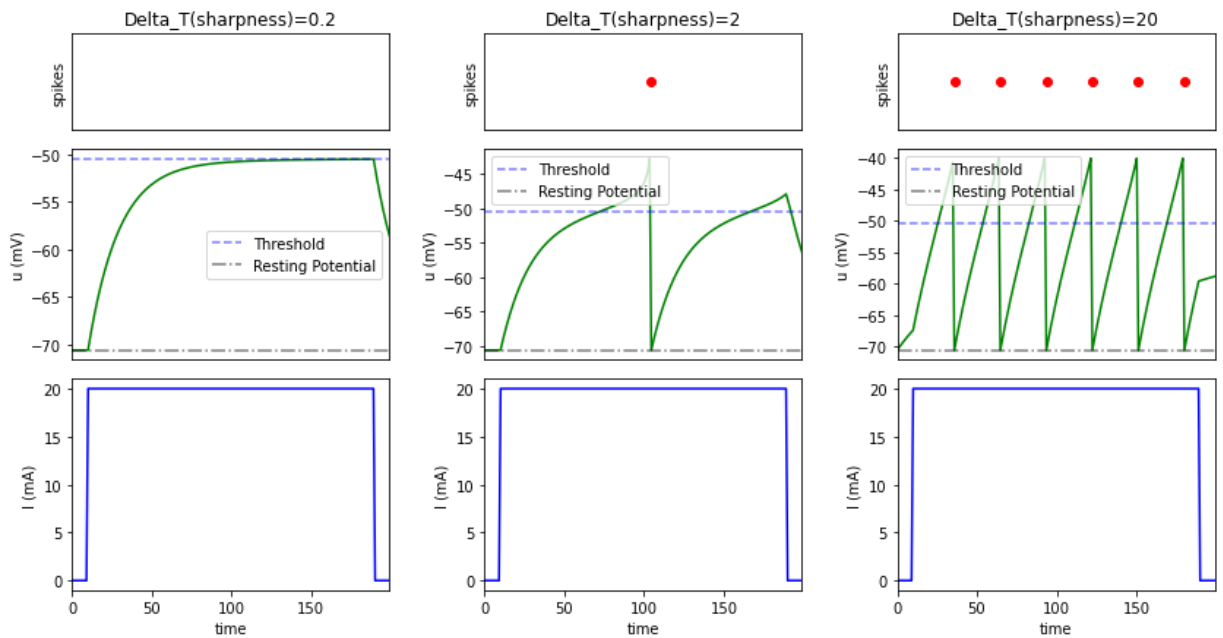
## d.A.1. بررسی رفتار مدل با $\Delta_T$ های متفاوت

i.d.A.1. با جریان ورودی

```
In [43]: plt.figure(figsize=(14,7))
p = Plotter([
    ['s1','s2','s3'],
    ['u1','u2','u3'],
    ['u1','u2','u3'],
    ['i1','i2','i3'],
    ['i1','i2','i3'],
], wspace=0.3)
Ion = 20
I = step_function(time, 10, vall=Ion) - step_function(time, time-10, vall=Ior

neuron_behaviour(ELIFPopulation, I, p, sharpness=.2, postfix='1', name="Delta")
neuron_behaviour(ELIFPopulation, I, p, sharpness=2, postfix='2', name="Delta")
neuron_behaviour(ELIFPopulation, I, p, sharpness=20, postfix='3', name="Delta")

p.show()
```



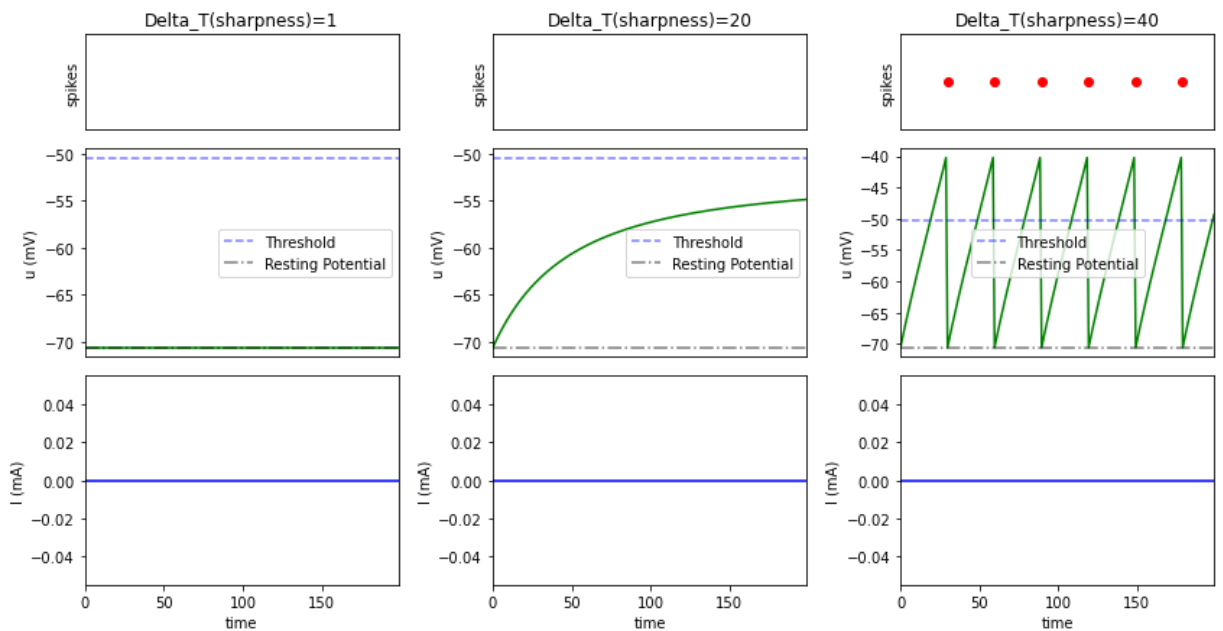
نتیجه مطابق انتظار پنجم ما از مدل است.

ii.d.A.1. بدون جریان ورودی

```
In [44]: plt.figure(figsize=(14,7))
p = Plotter([
    ['s1', 's2', 's3'],
    ['u1', 'u2', 'u3'],
    ['u1', 'u2', 'u3'],
    ['i1', 'i2', 'i3'],
    ['i1', 'i2', 'i3'],
], wspace=0.3)
I = [0]

neuron_behaviour(ELIFPopulation, I, p, sharpness=1, postfix='1', name="Delta_T")
neuron_behaviour(ELIFPopulation, I, p, sharpness=20, postfix='2', name="Delta_T")
neuron_behaviour(ELIFPopulation, I, p, sharpness=40, postfix='3', name="Delta_T")

p.show()
```



نتیجه مطابق انتظار ششم ما از مدل است.

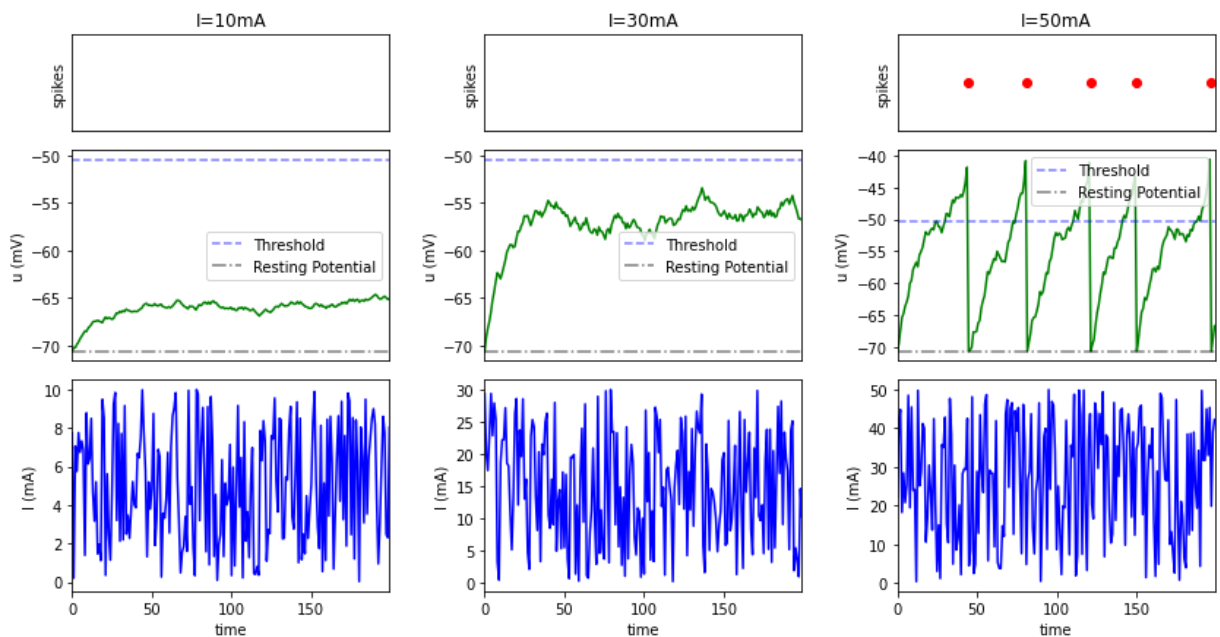
## B.1. جریان ورودی تصادفی

### a.B.1. بررسی رفتار مدل با دامنه‌های متفاوت جریان ورودی

```
In [45]: plt.figure(figsize=(14,7))
p = Plotter([
    ['s1','s2','s3'],
    ['u1','u2','u3'],
    ['u1','u2','u3'],
    ['i1','i2','i3'],
    ['i1','i2','i3'],
], wspace=0.3)

I = torch.rand(time,1)*10
neuron_behaviour(ELIFPopulation, I, p, postfix='1', name="I=10mA")
I = torch.rand(time,1)*30
neuron_behaviour(ELIFPopulation, I, p, postfix='2', name="I=30mA")
I = torch.rand(time,1)*50
neuron_behaviour(ELIFPopulation, I, p, postfix='3', name="I=50mA")

p.show()
```



نتیجه مطابق انتظار اول ما از مدل است. همچنین رفتار انفجاری را مطابق بند ۷ از انتظارات خود از مدل، مشاهده می‌کنیم.

### b.B.1. بررسی رفتار مدل با مقاوت‌های متفاوت

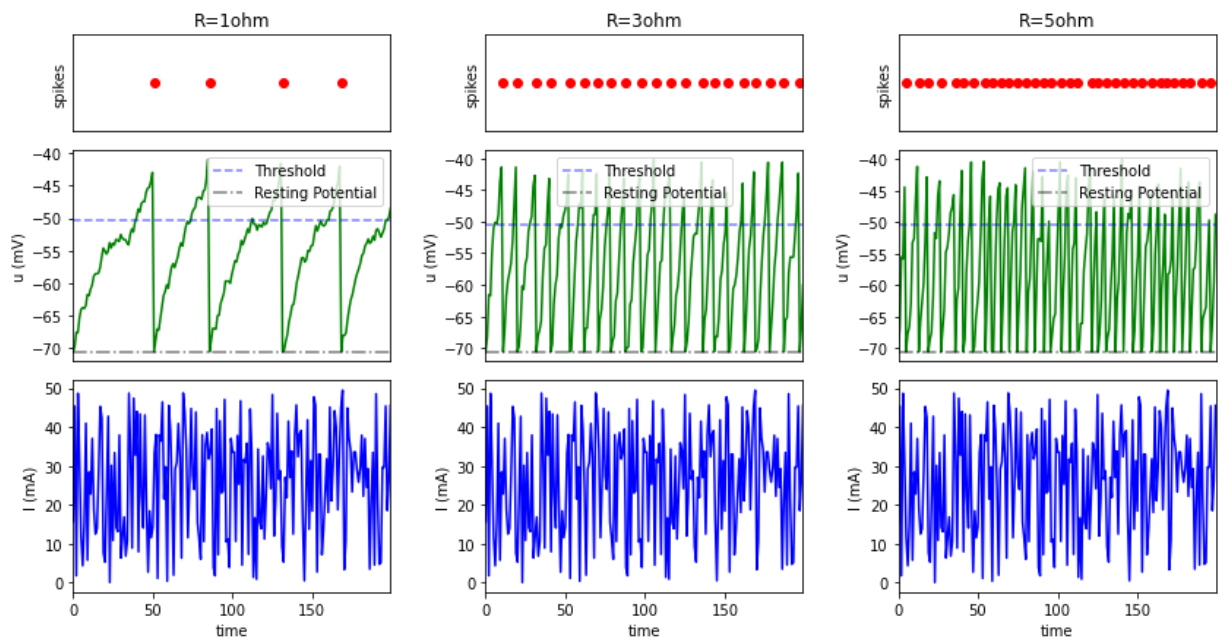
```
In [46]: plt.figure(figsize=(14,7))
p = Plotter([
    ['s1','s2','s3'],
    ['u1','u2','u3'],
    ['u1','u2','u3'],
    ['i1','i2','i3'],
    ['i1','i2','i3'],
], wspace=0.3)
I = torch.rand(time,1)*50
```

```

neuron_behaviour(ELIFPopulation, I, p, R=1, postfix='1', name="R=1ohm")
neuron_behaviour(ELIFPopulation, I, p, R=3, postfix='2', name="R=3ohm")
neuron_behaviour(ELIFPopulation, I, p, R=5, postfix='3', name="R=5ohm")

p.show()

```



نتیجه مطابق انتظار دوم ما از مدل است.

## c.B.1. بررسی رفتار مدل با ثابت زمانی ( $\tau$ ) های متفاوت

```

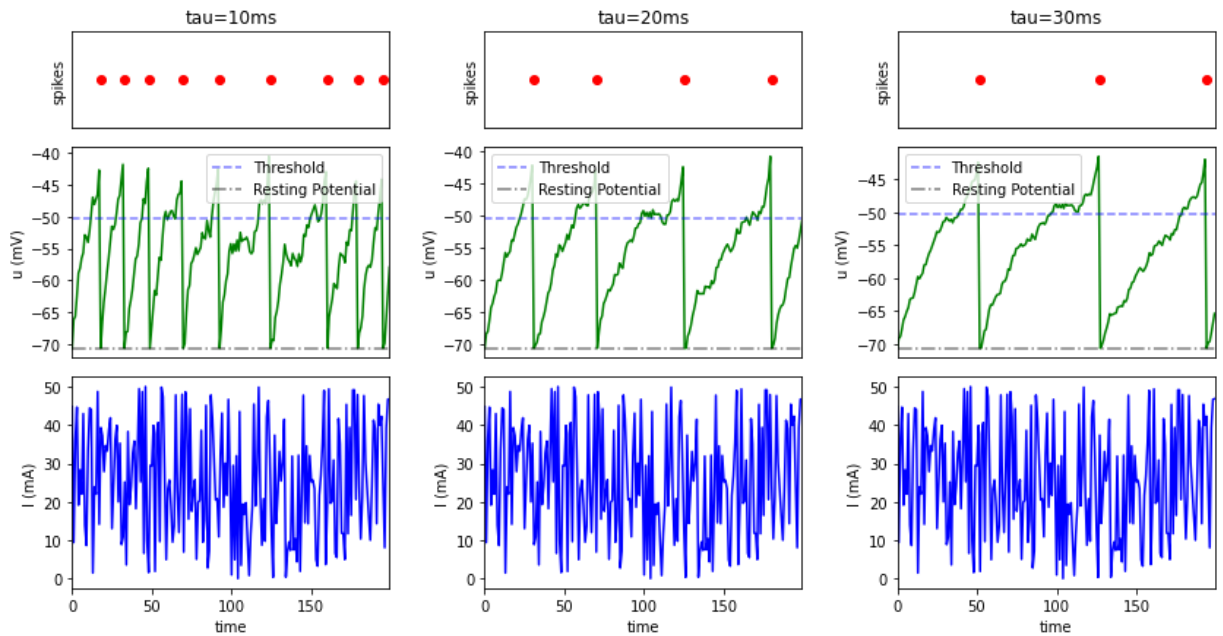
In [47]: plt.figure(figsize=(14,7))
p = Plotter([
    ['s1', 's2', 's3'],
    ['u1', 'u2', 'u3'],
    ['u1', 'u2', 'u3'],
    ['i1', 'i2', 'i3'],
    ['i1', 'i2', 'i3'],
], wspace=0.3)
I = torch.rand(time,1)*50

neuron_behaviour(ELIFPopulation, I, p, tau=10, postfix='1', name="tau=10ms")
neuron_behaviour(ELIFPopulation, I, p, tau=20, postfix='2', name="tau=20ms")
neuron_behaviour(ELIFPopulation, I, p, tau=30, postfix='3', name="tau=30ms")

p.show()

```





نتیجه مطابق انتظار سوم ما از مدل است.

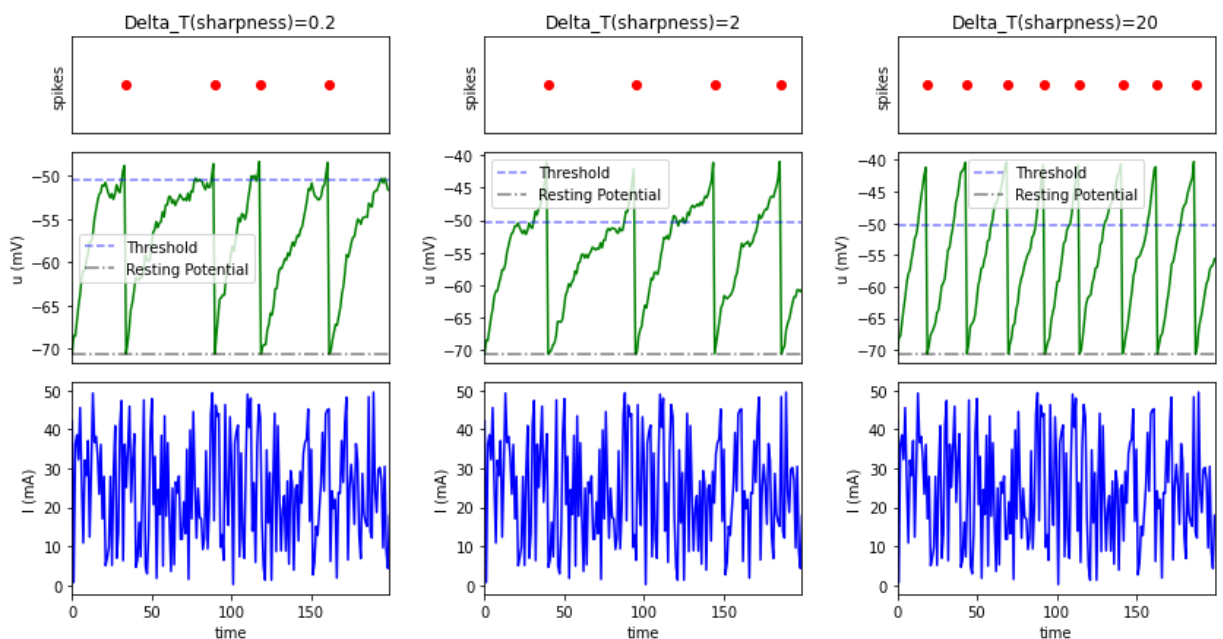
## 1.B.d. بررسی رفتار مدل با $\Delta T$ های متفاوت

In [48]:

```
plt.figure(figsize=(14,7))
p = Plotter([
    ['s1','s2','s3'],
    ['u1','u2','u3'],
    ['u1','u2','u3'],
    ['i1','i2','i3'],
    ['i1','i2','i3'],
], wspace=0.3)
I = torch.rand(time,1)*50

neuron_behaviour(ELIFPopulation, I, p, sharpness=.2, postfix='1', name="Delta_T")
neuron_behaviour(ELIFPopulation, I, p, sharpness=2, postfix='2', name="Delta_T")
neuron_behaviour(ELIFPopulation, I, p, sharpness=20, postfix='3', name="Delta_T")

p.show()
```



نتیجه مطابق انتظار پنجم ما از مدل است.

## 2. مدل AELIF

برای پیاده‌سازی این مدل نرونی، کافی است اختلاف پتانسیل نرون را در هر گام طبق رابطه زیر به روزرسانی کنیم:

$$U(t + \Delta) = U(t) - \frac{\Delta}{\tau} \left[ (U(t) - U_{rest}) - \Delta_T e^{\frac{U(t) - U_{firing-threshold}}{\Delta_T}} + R \cdot W(t) - R \cdot I(t) \right]$$

$$W(t + \Delta) = W(t) + \frac{\Delta}{\tau_w} \left[ a(U(t) - U_{rest}) - W(t) + b\tau_w \sum_{t^f} \delta(t - t^f) \right]$$

$$if \ U(t) > U_{spike-threshold} : U(t) = 0 \quad and \ spike - on!$$

از آنجایی که این مدل توسعه‌ای بر مدل ELIF است، پس انتظاراتی که از مدل ELIF داشتیم، اینجا نیست مورد انتظار هستند. علاوه بر این انتظارات، انتظارات زیر نیز وجود دارند:

8- با حفظ جریان ورودی در مقادیر بالا به مدت طولانی، با توجه به بزرگ ماندن مقدار  $u - u_{rest}$ ، مقدار  $w$  بزرگ شده و در نتیجه مقدار پتانسیل کاهش پیدا می‌کند.

9- پس از مشاهده چند spike متناوب، با توجه به اثر  $w$ ، مقدار پتانسیل و در نتیجه فرکانس spike در ادامه کاهش پیدا می‌کند.

10- در صورت قطع ناگهانی جریان ورودی، با توجه به غالب شدن ترم  $R \cdot W$  نسبت به ترم  $R \cdot I$ ، شاهد افت پتانسیل شدید خواهیم بود. متناسب با مقدار سابق جریان ورودی، مدت زمان حفظ جریان مذکور و پارامترهای مرتبط با  $w$ ، ممکن است این افت پتانسیل شدت‌های متفاوتی داشته باشد و ممکن است باعث شود اختلاف پتانسیل نرون مقدار کم یا زیادی از resting potential کمتر شود. پس از این رویداد، با توجه به اینکه  $u - u_{rest}$  مقداری منفی پیدا می‌کند، از این پس اثر  $w$  مثبت بوده و اختلاف پتانسیل به سرعت افزایش پیدا می‌کند تا دوباره از مرز resting potential افزایش پیدا کند. به همین صورت، می‌بایستی شاهد یک نوسان میرا در پتانسیل نرون باشیم. اگر این افت و شدت پتانسیل به اندازه کافی بزرگ باشد (متاثر از اختلاف پتانسیل سابق و مقادیر پارامترها)، ممکن است منجر به spike شود.

11- با افزایش مقدار  $\tau_w$ ، لختی  $w$  زیاد می‌شود. در نتیجه، adaptivity دیرتر رخ خواهد داد و ماندگارتر خواهد بود.

12- با افزایش پارامتر  $b$ ، تاثیر پذیری  $w$  و در نتیجه adaptivity از مشاهده spike‌های اخیر بیشتر خواهد شد.

13- با افزایش پارامتر  $a$ ، تاثیر پذیری  $w$  و در نتیجه adaptivity از اختلاف پتانسیل بالا در طول زمان بیشتر خواهد شد.

## A.2. جریان ورودی ثابت

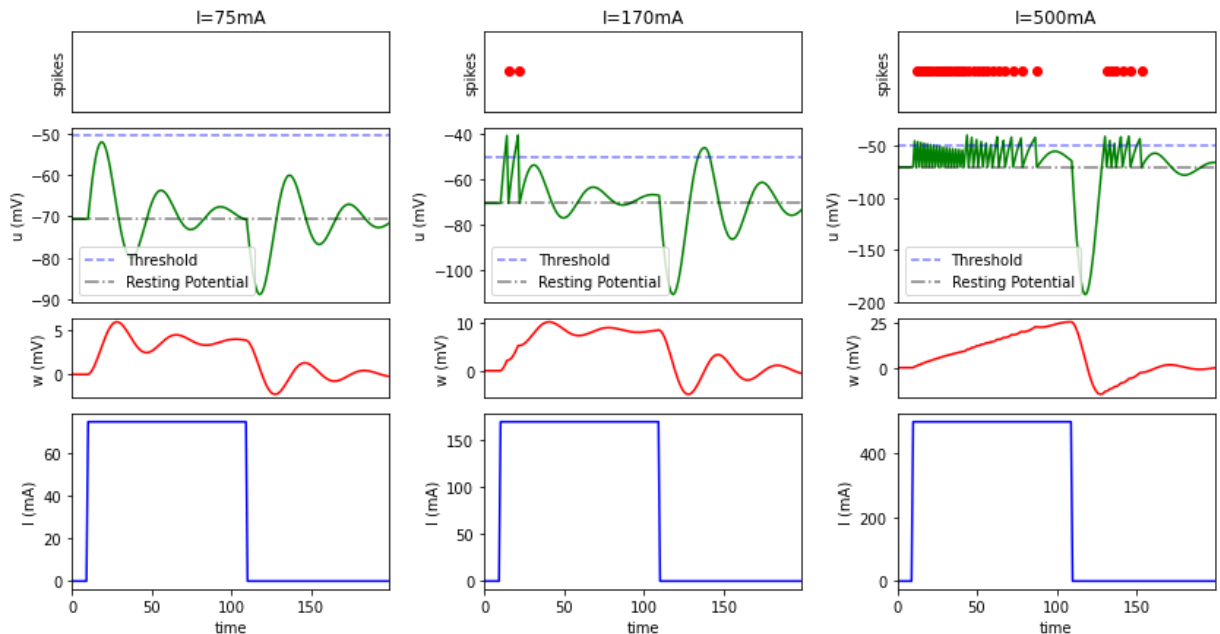
### a.A.2. بررسی رفتار مدل با دامنه‌های متفاوت جریان ورودی

```
In [66]: plt.figure(figsize=(14,7))
p = Plotter([
    ['s1', 's2', 's3'],
    ['u1', 'u2', 'u3'],
    ['u1', 'u2', 'u3'],
    ['w1', 'w2', 'w3'],
    ['i1', 'i2', 'i3'],
    ['i1', 'i2', 'i3'],
], wspace=0.3)

Ion = 75
I = step_function(time, 10, val1=Ion) - step_function(time, time-90, val1=Ior
```

```
neuron_behaviour(AELIFPopulation, I, p, postfix='1', name="I=75mA", w=True)
Ion = 170
I = step_function(time, 10, vall=Ion) - step_function(time, time-90, vall=Ion)
neuron_behaviour(AELIFPopulation, I, p, postfix='2', name="I=170mA", w=True)
Ion = 500
I = step_function(time, 10, vall=Ion) - step_function(time, time-90, vall=Ion)
neuron_behaviour(AELIFPopulation, I, p, postfix='3', name="I=500mA", w=True)

p.show()
```



- بدون هیچ توضیح اضافه‌ای، نمودارهای بالا کاملاً گویای انتظارات ۱، ۷، ۸، ۹ و ۱۰ از مدل می‌باشند:
- ۱- از چپ به راست، مشاهده می‌کنیم که با افزایش شدت جریان ورودی، فرکانس spike خروجی افزایش پیدا می‌کند.
  - ۷- در دو نمودار سمت راست می‌بینیم که با گذر پتانسیل نوروں از firing threshold، این پتانسیل رفتار انفجارگونه از خود نشان می‌دهد.
  - ۸- نمودار سمت چپ نشان می‌دهد که با بالا ماندن جریان ورودی، adaptivity رخ داده و با افزایش  $w$ ، مقدار پتانسیل کاهش پیدا می‌کند و شاهد spike نخواهیم بود.
  - ۹- نمودار میانی به خوبی نشان می‌دهد که مشاهده‌ی یک spike در خروجی، باعث افزایش زیاد  $w$  می‌شود و فرکانس spike خروجی کاهش می‌یابد. کاهش فرکانس spike خروجی در نمودار سمت راست نیز به خوبی قابل مشاهده است.
  - ۱۰- مطابق با استدلال بیان شده در بخش توضیحات مدل AELIF، مشاهده می‌کنیم که با قطع جریان ورودی (که جریان شدیدی است)، پتانسیل نوروں رفتاری نوسانی و میرا از خود نشان می‌دهد. در نمودار سمت راست می‌بینیم که این نوسان آنقدر شدید بوده که باعث ایجاد چندین spike شده است. دلیل این رخداد، شدت بسیار زیاد جریان ورودی سابق در این آزمایش است که خلأ آن به شدت موثر حاضر می‌شود.

## b.A.2. بررسی رفتار مدل با مقادیرهای متفاوت

```
In [67]: plt.figure(figsize=(14,7))
p = Plotter([
    ['s1','s2','s3'],
    ['u1','u2','u3'],
    ['u1','u2','u3'],
    ['w1','w2','w3'],
    ['i1','i2','i3'],
    ['i1','i2','i3'],
], wspace=0.3)
```

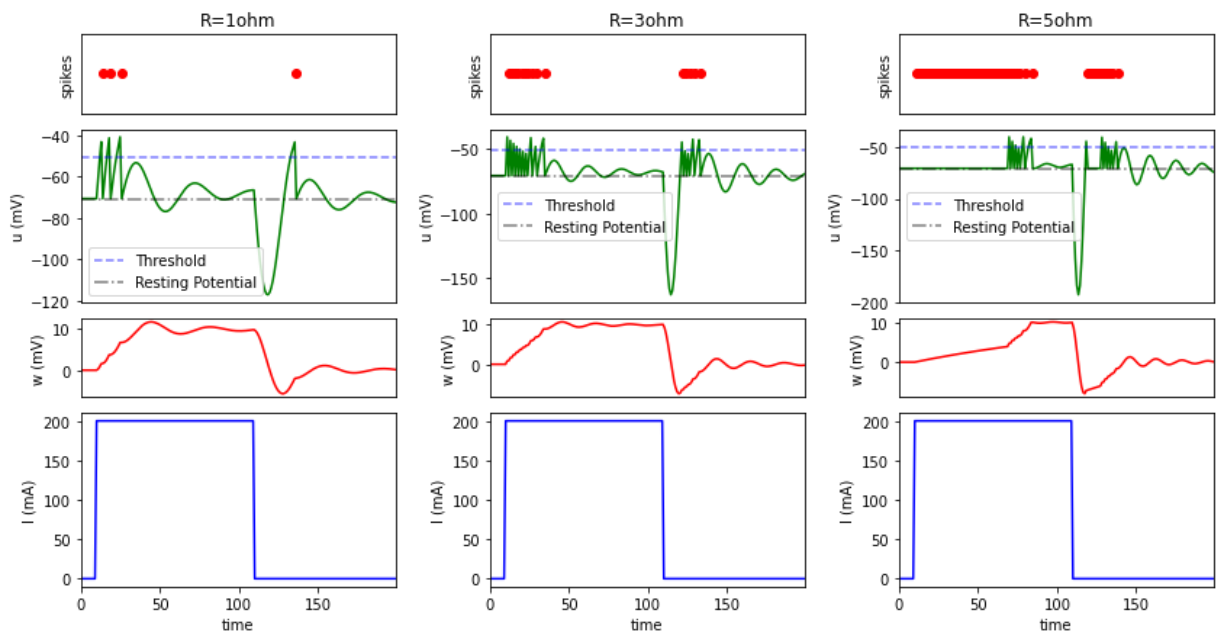
```

Ion = 200
I = step_function(time, 10, vall=Ion) - step_function(time, time-90, vall=Ion)

neuron_behaviour(AELIFPopulation, I, p, R=1, postfix='1', name="R=1ohm", w=Tr
neuron_behaviour(AELIFPopulation, I, p, R=3, postfix='2', name="R=3ohm", w=Tr
neuron_behaviour(AELIFPopulation, I, p, R=5, postfix='3', name="R=5ohm", w=Tr

p.show()

```



نتیجه مطابق انتظار دوم ما از مدل است.

## C.A.2. بررسی رفتار مدل با ثابت زمانی ( $\tau$ ) های متفاوت

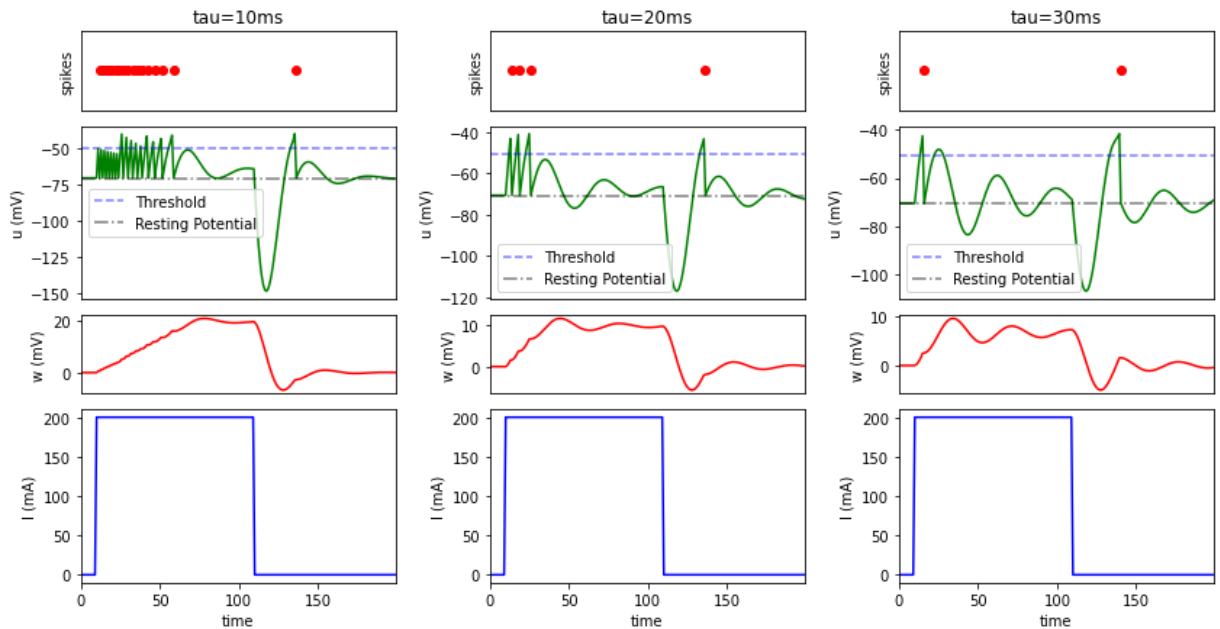
```

In [68]: plt.figure(figsize=(14,7))
p = Plotter([
    ['s1', 's2', 's3'],
    ['u1', 'u2', 'u3'],
    ['u1', 'u2', 'u3'],
    ['w1', 'w2', 'w3'],
    ['i1', 'i2', 'i3'],
    ['i1', 'i2', 'i3'],
], wspace=0.3)
Ion = 200
I = step_function(time, 10, vall=Ion) - step_function(time, time-90, vall=Ion)

neuron_behaviour(AELIFPopulation, I, p, tau=10, postfix='1', name="tau=10ms",
neuron_behaviour(AELIFPopulation, I, p, tau=20, postfix='2', name="tau=20ms",
neuron_behaviour(AELIFPopulation, I, p, tau=30, postfix='3', name="tau=30ms",

p.show()

```



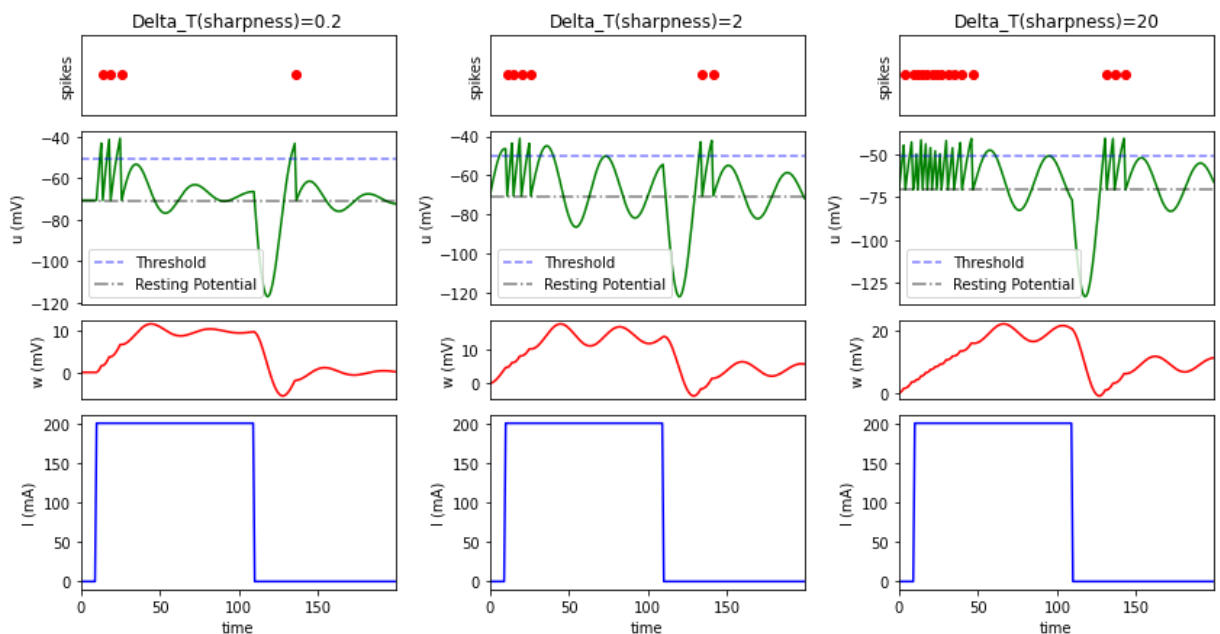
نتیجه مطابق انتظار سوم ما از مدل است.

## d.A.2. بررسی رفتار مدل با $\Delta_T$ های متفاوت

```
In [71]: plt.figure(figsize=(14,7))
p = Plotter([
    ['s1','s2','s3'],
    ['u1','u2','u3'],
    ['u1','u2','u3'],
    ['w1','w2','w3'],
    ['i1','i2','i3'],
    ['i1','i2','i3'],
], wspace=0.3)
Ion = 200
I = step_function(time, 10, val=Ion) - step_function(time, time-90, val=Ion)

neuron_behaviour(AELIFPopulation, I, p, sharpness=2, postfix='1', name="Delta_T(sharpness)=0.2")
neuron_behaviour(AELIFPopulation, I, p, sharpness=100, postfix='2', name="Delta_T(sharpness)=2")
neuron_behaviour(AELIFPopulation, I, p, sharpness=200, postfix='3', name="Delta_T(sharpness)=20")

p.show()
```



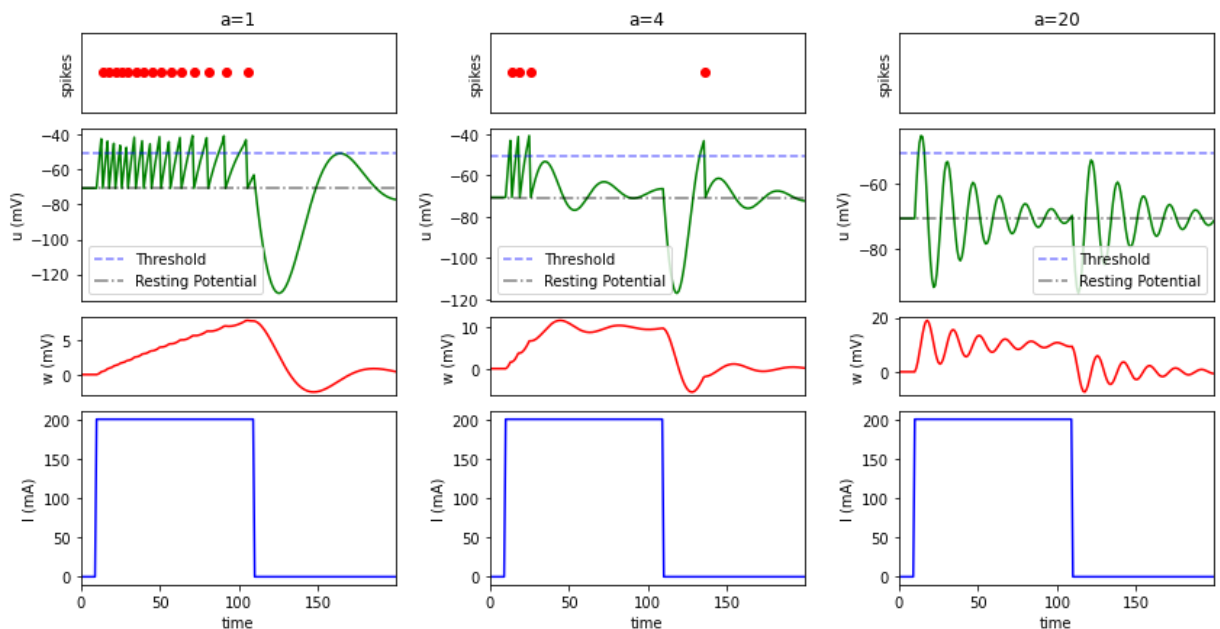
نتیجه مطابق انتظار پنجم ما از مدل است.

## e.A.2. بررسی رفتار مدل با مقادیر متفاوت پارامتر a

```
In [73]: plt.figure(figsize=(14,7))
p = Plotter([
    ['s1','s2','s3'],
    ['u1','u2','u3'],
    ['u1','u2','u3'],
    ['w1','w2','w3'],
    ['i1','i2','i3'],
    ['i1','i2','i3'],
], wspace=0.3)
Ion = 200
I = step_function(time, 10, vall=Ion) - step_function(time, time-90, vall=Ion)

neuron_behaviour(AELIFPopulation, I, p, a_w=1, postfix='1', name="a=1", w=True)
neuron_behaviour(AELIFPopulation, I, p, a_w=4, postfix='2', name="a=4", w=True)
neuron_behaviour(AELIFPopulation, I, p, a_w=20, postfix='3', name="a=20", w=True)

p.show()
```



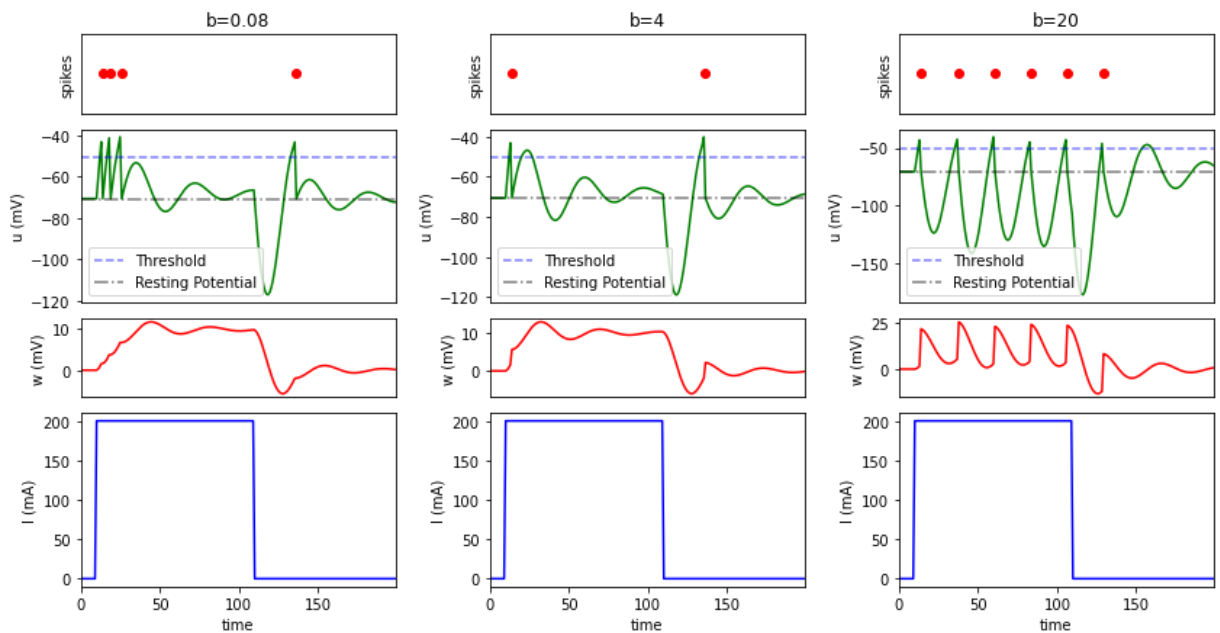
نتیجه مطابق انتظار ۱۳ام ما از مدل است. مدل با a بزرگ‌تر، adaptivity بیشتری از خود نشان داده و در نتیجه فرکانس spike خروجی کاهش پیدا می‌کند.

## f.A.2. بررسی رفتار مدل با مقادیر متفاوت پارامتر b

```
In [82]: plt.figure(figsize=(14,7))
p = Plotter([
    ['s1','s2','s3'],
    ['u1','u2','u3'],
    ['u1','u2','u3'],
    ['w1','w2','w3'],
    ['i1','i2','i3'],
    ['i1','i2','i3'],
], wspace=0.3)
Ion = 200
I = step_function(time, 10, vall=Ion) - step_function(time, time-90, vall=Ion)
```

```
neuron_behaviour(AELIFPopulation, I, p, b_w=.08, postfix='1', name="b=0.08",
neuron_behaviour(AELIFPopulation, I, p, b_w=4, postfix='2', name="b=4", w=True,
neuron_behaviour(AELIFPopulation, I, p, b_w=20, postfix='3', name="b=20", w=True)

p.show()
```



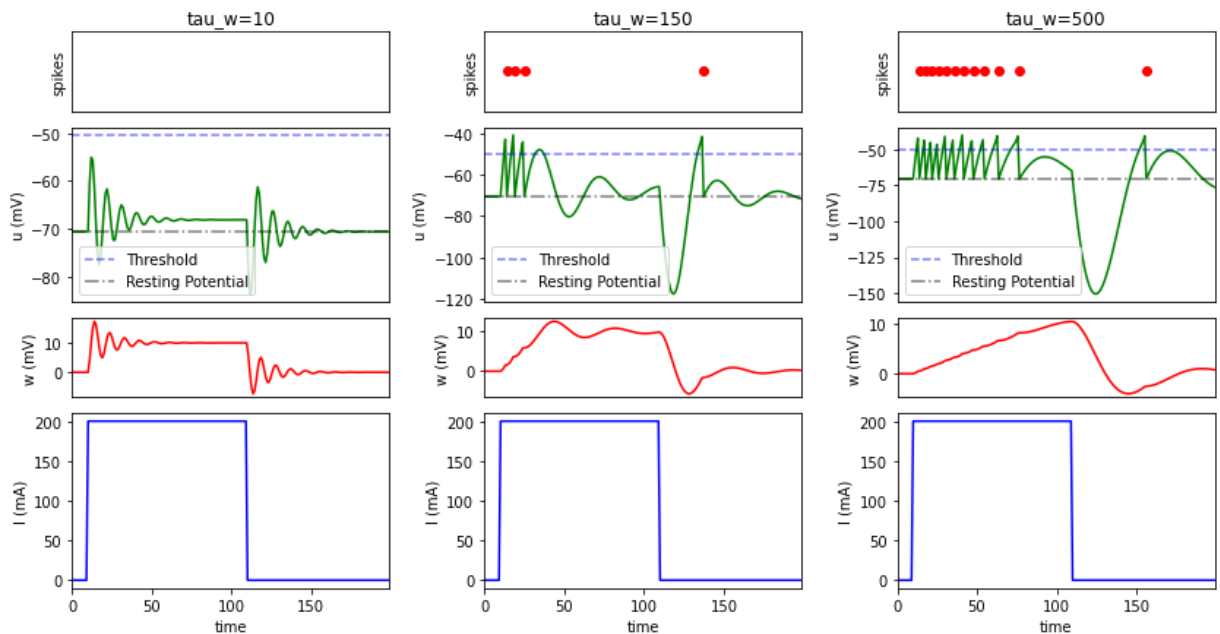
نتیجه مطابق انتظار ۱۲ام ما از مدل است. مقدار  $w$  تأثیرپذیری بیشتری نسبت به مشاهده spike دارد و به هنگام رخداد spike، به یکباره و به شدت افزایش پیدا می‌کند. همین باعث adaptivity بیشتر در برابر spike می‌شود.

## g.A.2. بررسی رفتار مدل با $\tau_w$ های متفاوت

```
In [83]: plt.figure(figsize=(14,7))
p = Plotter([
    ['s1','s2','s3'],
    ['u1','u2','u3'],
    ['u1','u2','u3'],
    ['w1','w2','w3'],
    ['i1','i2','i3'],
    ['i1','i2','i3'],
], wspace=0.3)
Ion = 200
I = step_function(time, 10, val=Ion) - step_function(time, time-90, val=Ion)

neuron_behaviour(AELIFPopulation, I, p, tau_w=10, postfix='1', name="tau_w=10")
neuron_behaviour(AELIFPopulation, I, p, tau_w=150, postfix='2', name="tau_w=150")
neuron_behaviour(AELIFPopulation, I, p, tau_w=500, postfix='3', name="tau_w=500")

p.show()
```



نتیجه کاملاً منطبق بر انتظار ۱۱ام ما از مدل است. در نمودار سمت چپ می‌بینیم زمانی که مقدار  $\tau_w$  کم است، مقدار  $w$  به راحتی با تغییر پتانسیل نورون تغییر می‌کند و تقریباً با آن هماهنگ است. این یعنی adaptivity سریع و ضعیف! درحالی که از چپ به راست، بین نمودارها، مشاهده می‌کنیم با افزایش  $\tau_w$ ، لختی  $w$  بیشتر می‌شود؛ دیرتر تغییر پیدا کرده و دیرتر هم بازمی‌گردد.

## B.2. جریان ورودی تصادفی

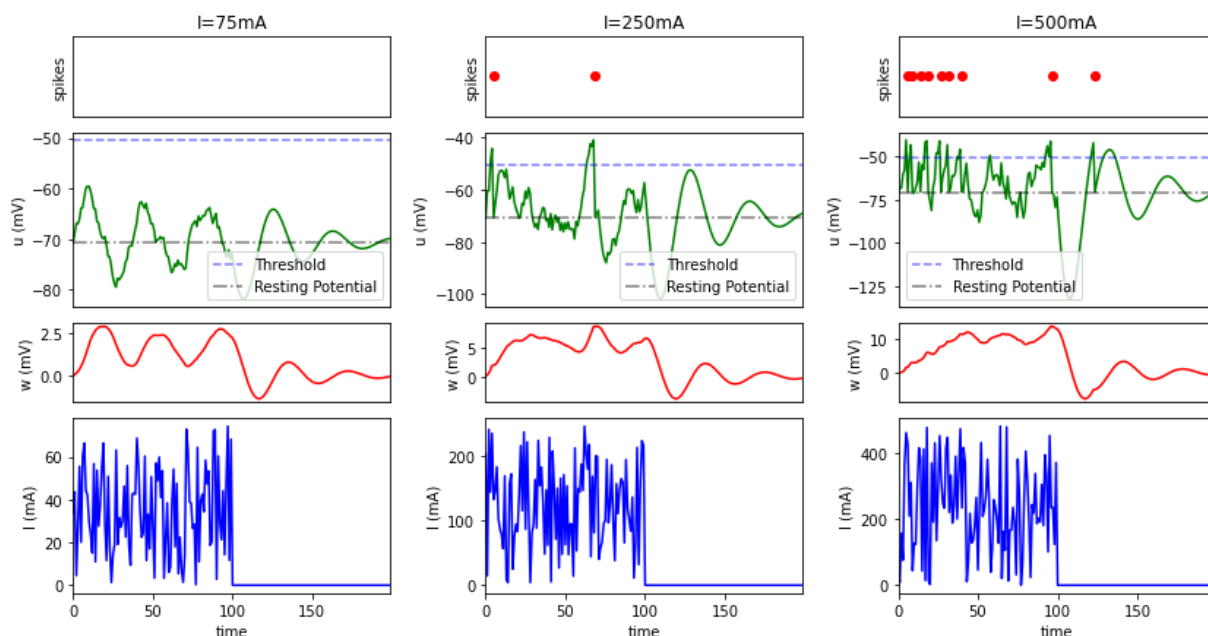
### a.B.2. بررسی رفتار مدل با دامنه‌های متفاوت جریان ورودی

```
In [96]: plt.figure(figsize=(14,7))
p = Plotter([
    ['s1', 's2', 's3'],
    ['u1', 'u2', 'u3'],
    ['u1', 'u2', 'u3'],
    ['w1', 'w2', 'w3'],
    ['i1', 'i2', 'i3'],
    ['i1', 'i2', 'i3'],
], wspace=0.3)

I = torch.rand(time,1)*75
I[int(time/2):] = 0
neuron_behaviour(AELIFPopulation, I, p, postfix='1', name="I=75mA", w=True)
I = torch.rand(time,1)*250
I[int(time/2):] = 0
neuron_behaviour(AELIFPopulation, I, p, postfix='2', name="I=250mA", w=True)
I = torch.rand(time,1)*500
I[int(time/2):] = 0
neuron_behaviour(AELIFPopulation, I, p, postfix='3', name="I=500mA", w=True)

p.show()
```





مشابه آنچه در بخش متناظر برای ورودی ثابت گفته شد، نمودارهای بالا کاملاً گویای انتظارات ۱،۷،۸،۹ و ۱۰ از مدل می‌باشند

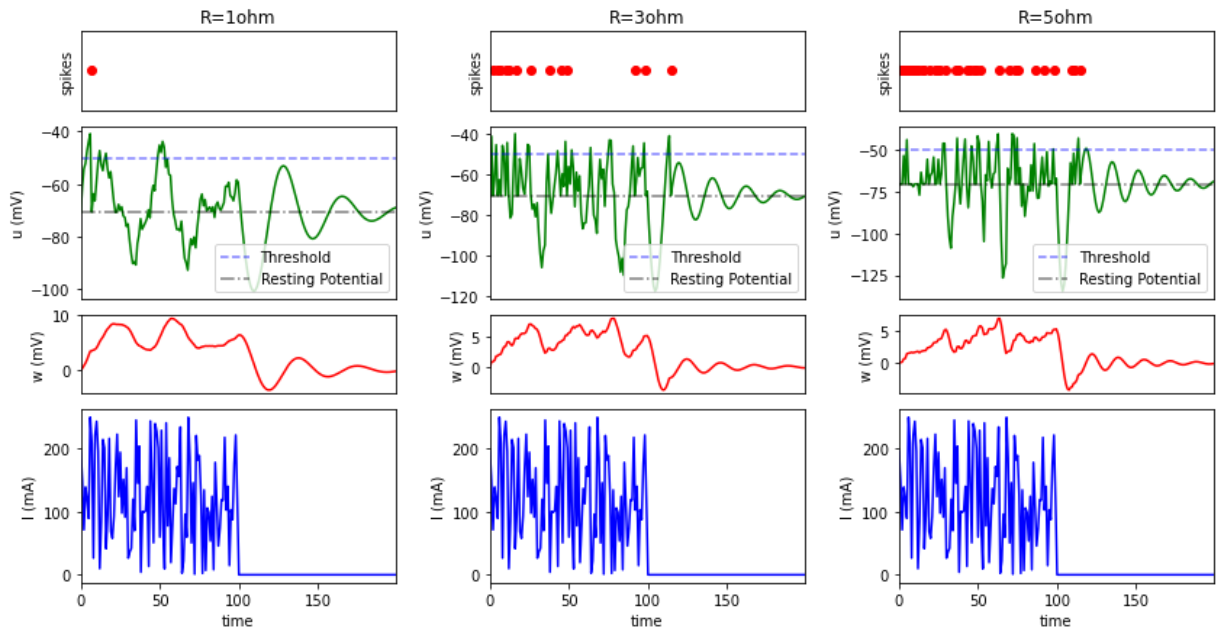
## b.B.2. بررسی رفتار مدل با مقاوت‌های متفاوت

In [97]:

```
plt.figure(figsize=(14,7))
p = Plotter([
    ['s1','s2','s3'],
    ['u1','u2','u3'],
    ['u1','u2','u3'],
    ['w1','w2','w3'],
    ['i1','i2','i3'],
    ['i1','i2','i3'],
], wspace=0.3)
I = torch.rand(time,1)*250
I[int(time/2):] = 0

neuron_behaviour(AELIFPopulation, I, p, R=1, postfix='1', name="R=1ohm", w=Tr
neuron_behaviour(AELIFPopulation, I, p, R=3, postfix='2', name="R=3ohm", w=Tr
neuron_behaviour(AELIFPopulation, I, p, R=5, postfix='3', name="R=5ohm", w=Tr

p.show()
```



نتیجه مطابق انتظار دوم ما از مدل است.

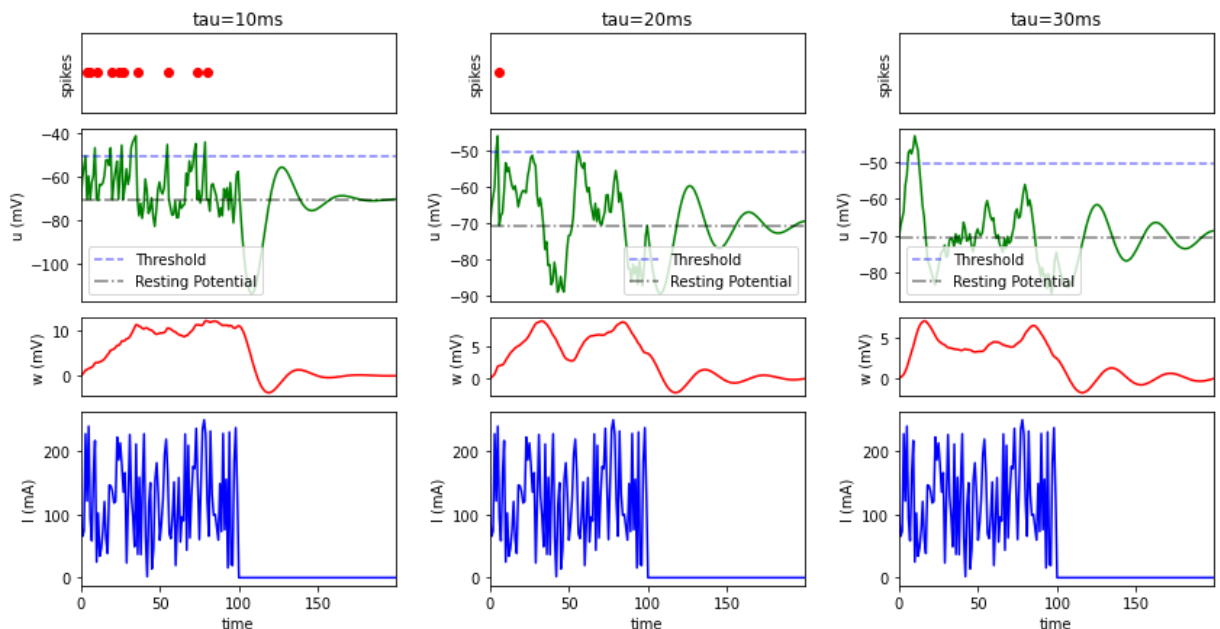
## c.B.2. بررسی رفتار مدل با ثابت زمانی ( $\tau$ ) های متفاوت

In [98]:

```
plt.figure(figsize=(14,7))
p = Plotter([
    ['s1','s2','s3'],
    ['u1','u2','u3'],
    ['u1','u2','u3'],
    ['w1','w2','w3'],
    ['i1','i2','i3'],
    ['i1','i2','i3'],
], wspace=0.3)
I = torch.rand(time,1)*250
I[int(time/2):] = 0

neuron_behaviour(AELIFPopulation, I, p, tau=10, postfix='1', name="tau=10ms",
neuron_behaviour(AELIFPopulation, I, p, tau=20, postfix='2', name="tau=20ms",
neuron_behaviour(AELIFPopulation, I, p, tau=30, postfix='3', name="tau=30ms",

p.show()
```



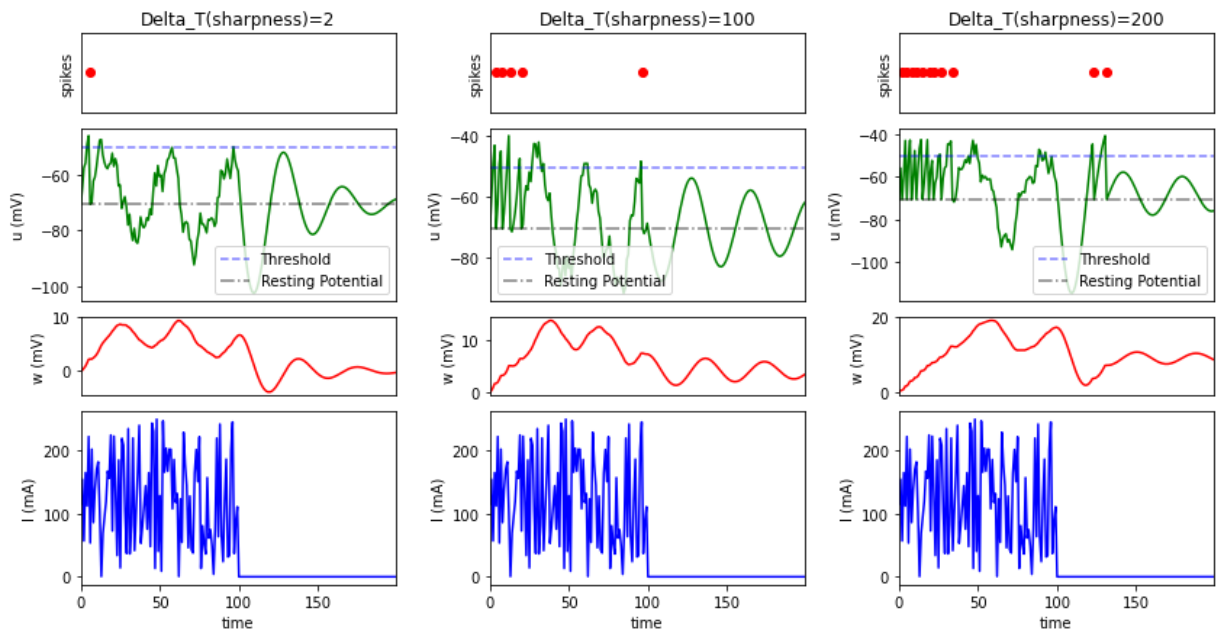
نتیجه مطابق انتظار سوم ما از مدل است.

## d.B.2. بررسی رفتار مدل با $\Delta_T$ های متفاوت

```
In [99]: plt.figure(figsize=(14,7))
p = Plotter([
    ['s1','s2','s3'],
    ['u1','u2','u3'],
    ['u1','u2','u3'],
    ['w1','w2','w3'],
    ['i1','i2','i3'],
    ['i1','i2','i3'],
], wspace=0.3)
I = torch.rand(time,1)*250
I[int(time/2):] = 0

neuron_behaviour(AELIFPopulation, I, p, sharpness=2, postfix='1', name="Delta_T(sharpness)=2")
neuron_behaviour(AELIFPopulation, I, p, sharpness=100, postfix='2', name="Delta_T(sharpness)=100")
neuron_behaviour(AELIFPopulation, I, p, sharpness=200, postfix='3', name="Delta_T(sharpness)=200")

p.show()
```



نتیجه مطابق انتظار پنجم ما از مدل است.

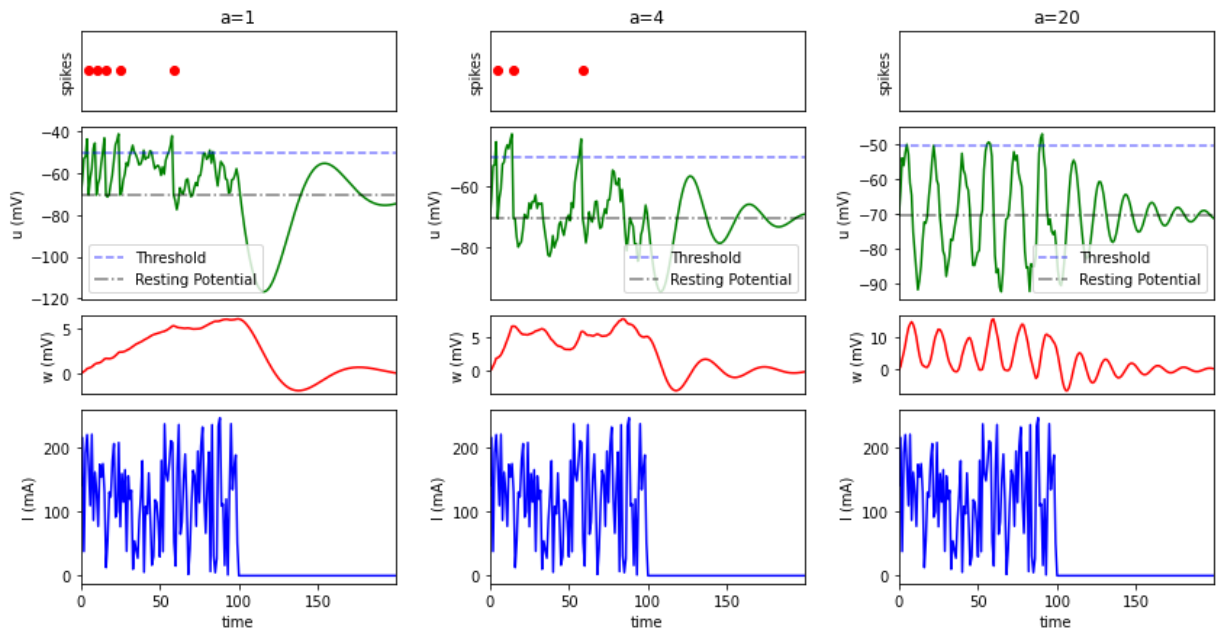
## e.B.2. بررسی رفتار مدل با مقادیر متفاوت پارامتر a

```
In [100]: plt.figure(figsize=(14,7))
p = Plotter([
    ['s1','s2','s3'],
    ['u1','u2','u3'],
    ['u1','u2','u3'],
    ['w1','w2','w3'],
    ['i1','i2','i3'],
    ['i1','i2','i3'],
], wspace=0.3)
I = torch.rand(time,1)*250
I[int(time/2):] = 0

neuron_behaviour(AELIFPopulation, I, p, a_w=1, postfix='1', name="a=1", w=True)
```

```
neuron_behaviour(AELIFPopulation, I, p, a_w=4, postfix='2', name="a=4", w=True)
neuron_behaviour(AELIFPopulation, I, p, a_w=20, postfix='3', name="a=20", w=True)

p.show()
```



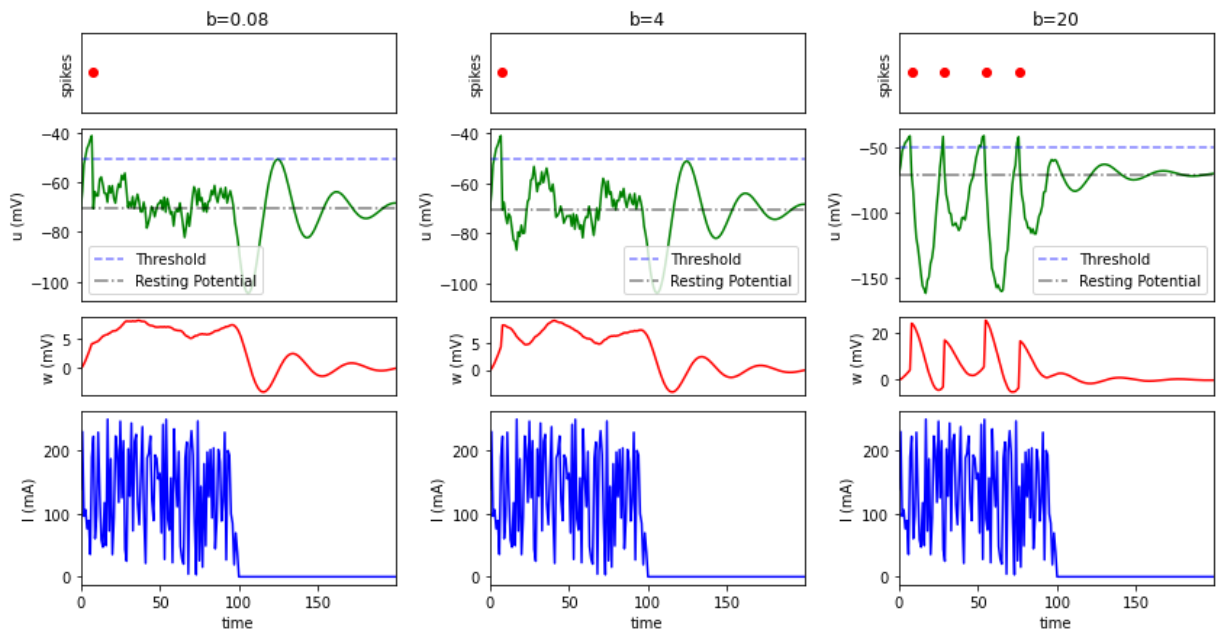
مشابه آنچه در بخش متناظر برای ورودی ثابت گفته شد، نتیجه مطابق انتظار ۱۳ام ما از مدل است.

## f.B.2. بررسی رفتار مدل با مقادیر متفاوت پارامتر b

```
In [101... plt.figure(figsize=(14,7))
p = Plotter([
    ['s1', 's2', 's3'],
    ['u1', 'u2', 'u3'],
    ['u1', 'u2', 'u3'],
    ['w1', 'w2', 'w3'],
    ['i1', 'i2', 'i3'],
    ['i1', 'i2', 'i3'],
], wspace=0.3)
I = torch.rand(time,1)*250
I[int(time/2):] = 0

neuron_behaviour(AELIFPopulation, I, p, b_w=.08, postfix='1', name="b=0.08",
neuron_behaviour(AELIFPopulation, I, p, b_w=4, postfix='2', name="b=4", w=True)
neuron_behaviour(AELIFPopulation, I, p, b_w=20, postfix='3', name="b=20", w=True)

p.show()
```



مشابه آنچه در بخش متناظر برای ورودی ثابت گفته شد، نتیجه مطابق انتظار ۱۲ام ما از مدل است.

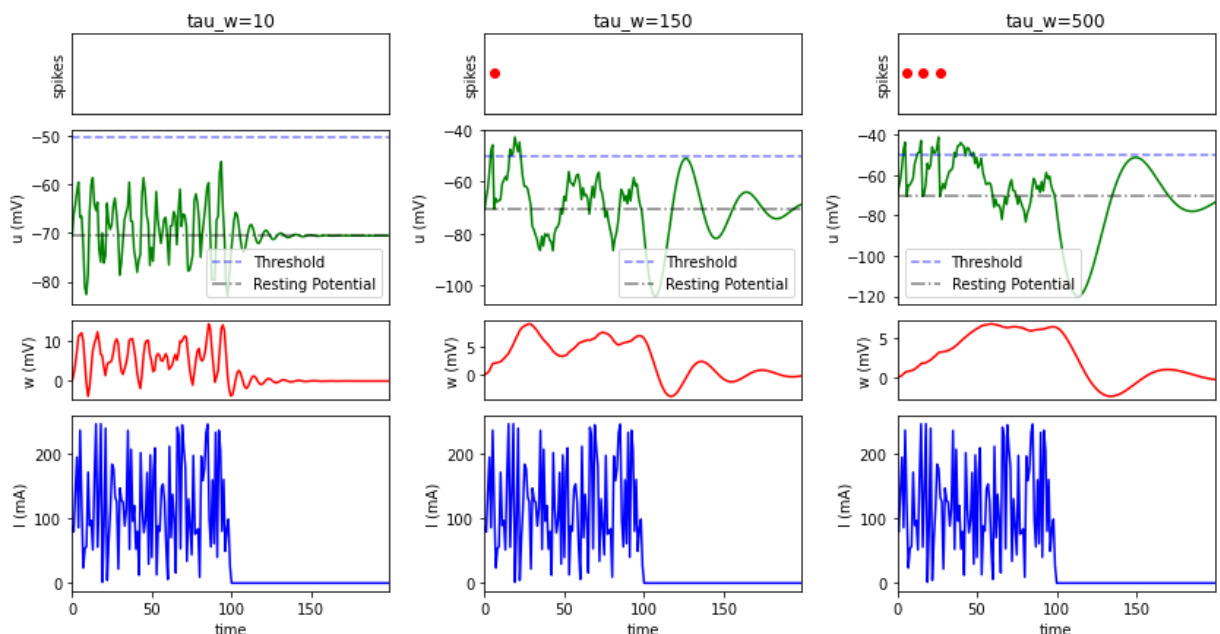
## g.B.2. بررسی رفتار مدل با $\tau_w$ های متفاوت

In [102...

```
plt.figure(figsize=(14,7))
p = Plotter([
    ['s1','s2','s3'],
    ['u1','u2','u3'],
    ['u1','u2','u3'],
    ['w1','w2','w3'],
    ['i1','i2','i3'],
    ['i1','i2','i3'],
], wspace=0.3)
I = torch.rand(time,1)*250
I[int(time/2):] = 0

neuron_behaviour(AELIFPopulation, I, p, tau_w=10, postfix='1', name="tau_w=10")
neuron_behaviour(AELIFPopulation, I, p, tau_w=150, postfix='2', name="tau_w=150")
neuron_behaviour(AELIFPopulation, I, p, tau_w=500, postfix='3', name="tau_w=500")

p.show()
```



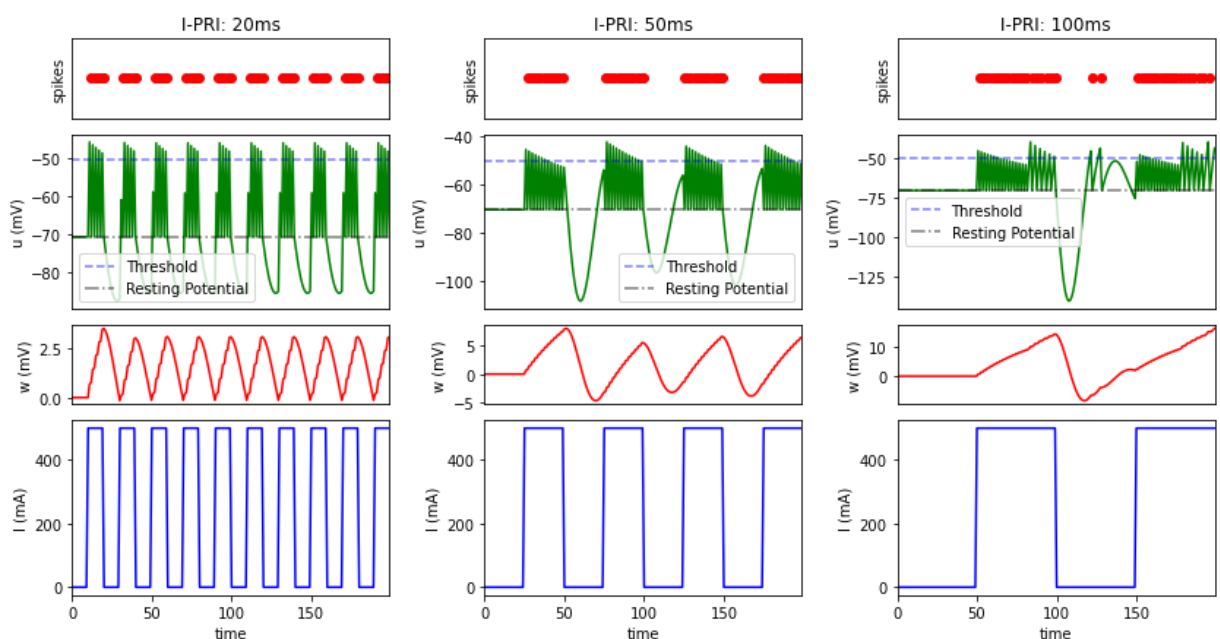
مشابه آنچه در بخش متناظر برای ورودی ثابت گفته شد، نتیجه مطابق انتظار ۱۱ام ما از مدل است.

## C.2. ورودی جریان پالس مربعی متوازن

### a.C.2. بررسی رفتار مدل با I-PRI اهای متفاوت جریان ورودی

```
In [106... plt.figure(figsize=(14,7))
p = Plotter([
    ['s1', 's2', 's3'],
    ['u1', 'u2', 'u3'],
    ['u1', 'u2', 'u3'],
    ['w1', 'w2', 'w3'],
    ['i1', 'i2', 'i3'],
    ['i1', 'i2', 'i3'],
], wspace=0.3)
Ion = 500

I = [0]*10+[Ion]*10
neuron_behaviour(AELIFPopulation, I, p, postfix='1', name="I-PRI: 20ms", w=Tr
I = [0]*25+[Ion]*25
neuron_behaviour(AELIFPopulation, I, p, postfix='2', name="I-PRI: 50ms", w=Tr
I = [0]*50+[Ion]*50
neuron_behaviour(AELIFPopulation, I, p, postfix='3', name="I-PRI: 100ms", w=Tr
p.show()
```



می بینیم که ورودی غیر پیوسته باعث فعالیت بیشتر نورون می شود چرا که adaptivity نورون از کار می افتد (دلیل استفاده از صدای آژیر برای مواقع خطر)

### b.C.2. بررسی رفتار مدل با $\tau_w$ های متفاوت

پیشتر دیدیم که با کاهش  $\tau_w$ ، لختی adaptivity کاهش پیدا می کند. انتظار می رود در برابر ورودی غیر پیوسته (پالسی)، adaptivity با لختی کمتر تأثیر بیشتری داشته باشد و فرکانس spike خروجی را کاهش دهد. این اثر را بررسی می کنیم.

```
In [107... plt.figure(figsize=(14,7))
```

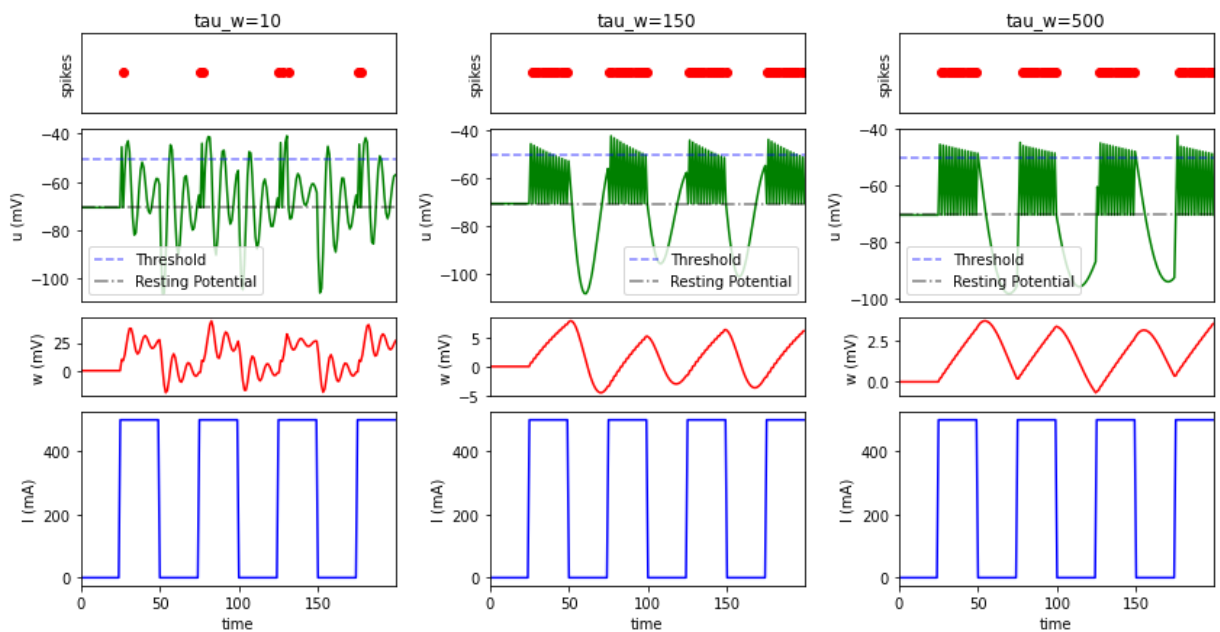
```

p = Plotter([
    ['s1','s2','s3'],
    ['u1','u2','u3'],
    ['u1','u2','u3'],
    ['w1','w2','w3'],
    ['i1','i2','i3'],
    ['i1','i2','i3'],
], wspace=0.3)
Ion = 500
I = [0]*25+[Ion]*25

neuron_behaviour(AELIFPopulation, I, p, tau_w=10, postfix='1', name="tau_w=10")
neuron_behaviour(AELIFPopulation, I, p, tau_w=150, postfix='2', name="tau_w=150")
neuron_behaviour(AELIFPopulation, I, p, tau_w=500, postfix='3', name="tau_w=500")

p.show()

```



نتیجه مطابق انتظاری است که بالاتر بیان شد.

### 3. مقایسه مدل‌ها در کنار یکدیگر

#### A.3. رفتار نورونی

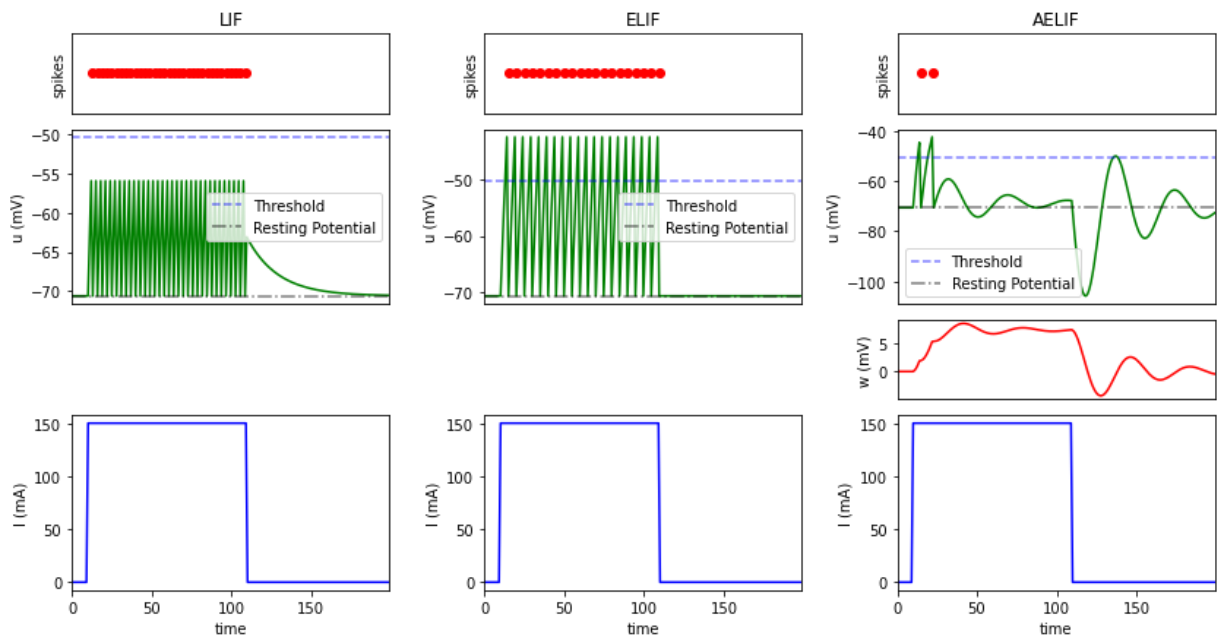
```

In [115... plt.figure(figsize=(14,7))
p = Plotter([
    ['s1','s2','s3'],
    ['u1','u2','u3'],
    ['u1','u2','u3'],
    [None, None, 'w3'],
    ['i1','i2','i3'],
    ['i1','i2','i3'],
], wspace=0.3)
Ion = 150
I = step_function(time, 10, vall=Ion) - step_function(time, time-90, vall=Ion)

neuron_behaviour(LIFPopulation, I, p, postfix='1', name="LIF", spike_threshold=10)
neuron_behaviour(ELIFPopulation, I, p, postfix='2', name="ELIF")
neuron_behaviour(AELIFPopulation, I, p, postfix='3', name="AELIF", w=True)

p.show()

```



### B.3. نمودارهای F-I

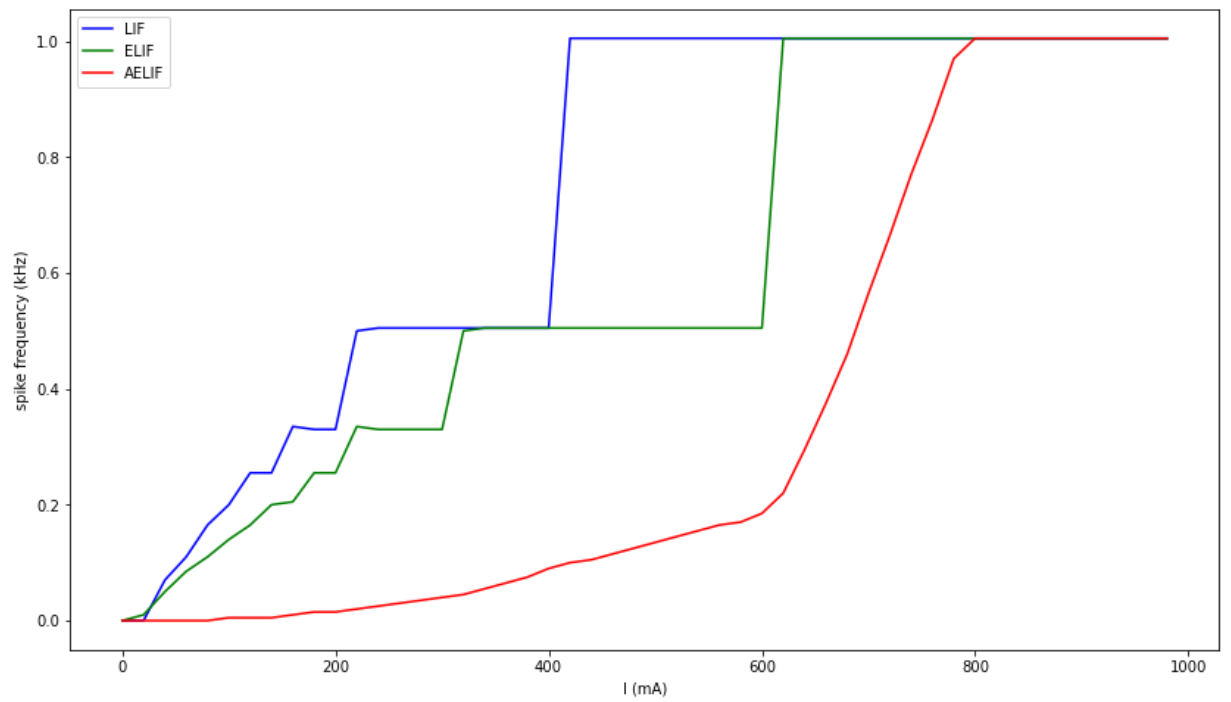
در این بخش، رفتار نوروها را در برابر میزان شدت جریان ورودی (ثابت)، با استفاده از نمودار F-I مشاهده می‌کنیم.

```
In [118... I_range = range(0,1000,20)
def cal_FI(neuron, I_range=I_range):
    monitor = Monitor(neuron, state_variables=["s", "u"], time=time)
    f = []
    for i in I_range:
        neuron.refractory_and_reset()
        I = torch.ones(time,1)*i
        monitor.simulate(neuron.forward, {'I': I})
        f.append(sum(monitor['s'])/time)
    return f

plt.figure(figsize=(14,8))
p = Plotter([
    ['F'],
], hspace=0.3)

neuron = LIFPopulation((1,), dt=1., spike_threshold=-50.4)
p.plot('F', y='F', x='I', data={'F':cal_FI(neuron,I_range), 'I':list(I_range)},
       color='blue', y_label="spike frequency (kHz)", x_label="I (mA)", title="LIF")
neuron = ELIFPopulation((1,), dt=1.)
p.plot('F', y='F', x='I', data={'F':cal_FI(neuron,I_range), 'I':list(I_range)},
       color='green', y_label="spike frequency (kHz)", x_label="I (mA)")
neuron = AELIFPopulation((1,), dt=1.)
p.plot('F', y='F', x='I', data={'F':cal_FI(neuron,I_range), 'I':list(I_range)},
       color='red', y_label="spike frequency (kHz)", x_label="I (mA)")
p['F'].legend()
p.show()
```





دلیل کمتر بودن spike frequency مدل AELIF نسبت به دو مدل دیگر واضح است. این کمتر بودن به دلیل کارکرد adaptivity است. اما کمتر بودن این معیار برای مدل ELIF نسبت به مدل LIF قابل توجه است. دلیل این کمتر بودن آن است که مدل ELIF مدت زمانی رو در دوره‌ی firing می‌ماند و پس از آن reset می‌شود که باعث می‌شود زمان کمتری برای spike زدن نسبت به مدل LIF داشته باشد.